

ческую точность оборудования;

– обеспечить минимальную трудоемкость сборки за счет учета технологической наследственности обработки поверхностей на взаимосвязанных технологических позициях;

– уйти от технологии сборки многопозиционного агрегатированного металорежущего оборудования с использованием монтажного шаблона, координатно увязав все элементы и введя компенсаторы в размерные цепи.

Список литературы: 1. Мельниченко О.А. Основи технологічності конструкцій та складання металорізального устаткування: Навч. посібник для студентів машинобудівних спеціальностей.-Харків: УПА, 1997.-92с. 2. Агрегатные станки средних и малых размеров / Ю.В.Тимофеев, В.Д. Хицан, М.С. Васерман, В.В. Громов; Под. общ. ред. Ю.В.Тимофеева.-М.:Машиностроение, 1985.-248с. 3. Размерный анализ технологических процессов/В.В.Матвеев, М.М. Тверской, Ф.И. Бойков и др. – М.: Машиностроение, 1982. – 264 с.

Поступила в редакцию 12.09.2007

УДК 621. 221

O. B. ПАНАМАРЬОВА

МАТЕМАТИЧНА МОДЕЛЬ ПІДЙОМНОГО МЕХАНІЗМУ СТРІЛОЧНОГО КРАНУ З АВТОМАТИЧНИМ РЕГУЛЯТОРОМ ШВИДКОСТІ

В статті описується математична модель гідросистеми підйомного механізму стрілочного крану з використанням автоматичного регулятора швидкості, що живиться від гідроагрегата живлення з запобіжним клапаном з осциляцією.

In article the mathematical model of hydrosystem of the elevating mechanism of the booms crane with use of an automatic regulator of speed which eats from hydraulic power unit with a safety valve with oscillation is described.

Вступ

Використання в гідравлічних системах (ГС) гідроагрегатів живлення (ГАЗ) гідроапарати (ГА) з осциляцією дозволяє підвищити їх динамічні характеристики та надійність, скоротити енергоспоживання. Спроба застосування таких ГАЗ з запобіжним клапаном (ЗК) з осциляцією в ГС підйомних механізмах і дослідження їхніх динамічних характеристик є актуальною задачею.

Огляд літературних джерел

Проведений нами аналіз літературних джерел виказав, що математична модель ГС підйомного механізму стрілочного крану збудованая з використанням ГАЗ з ЗК з осциляцією розглянуто в статті [1]. Однак в ній не розглядається різні режими навантаження та забезпечення заданної швидкості переміщення виконавчих механізмів. В інших літературних дже-

релях, доступних нам, ці питання не розглядаються. В данній статті реалізується спроба уdosконалення запропонованої попередньо ГС підйомного механізму стрілочного крану шляхом використання в ній автоматичного регулятора швидкості (АРШ), конструкція котрого запропонована в [2]. При переміщенні стрілковим краном, що розглядається, вантажів з більш легкою вагою, потужність гідропривода є недовикористаною. Включення до гідросхеми АРШ дозволить встановити автоматичне керування режимом роботи гідропривода, що забезпечить більш повне використання потужності ГАЗ.

Мета і постановка задачі.

Метою даної статті є складання математичної моделі ГС підйомного механізму з використанням ГАЖ з ЗК з осциляцією та АРІ.

Гідравлічна система підйомного механізму стрічочного крану з використанням АРІЦ.

ГС підйомного механізму (рис. 1) така, як наведено в [3], за виключенням механізму рекуперації енергії, використання якого в ГС впливає тільки на енергетичні характеристики ГАЖ. Для більш повного використання потужності ГАЖ з ЗК з осциляцією до ГС пропонується включити АРШ, котрий може працювати в трьох режимах.

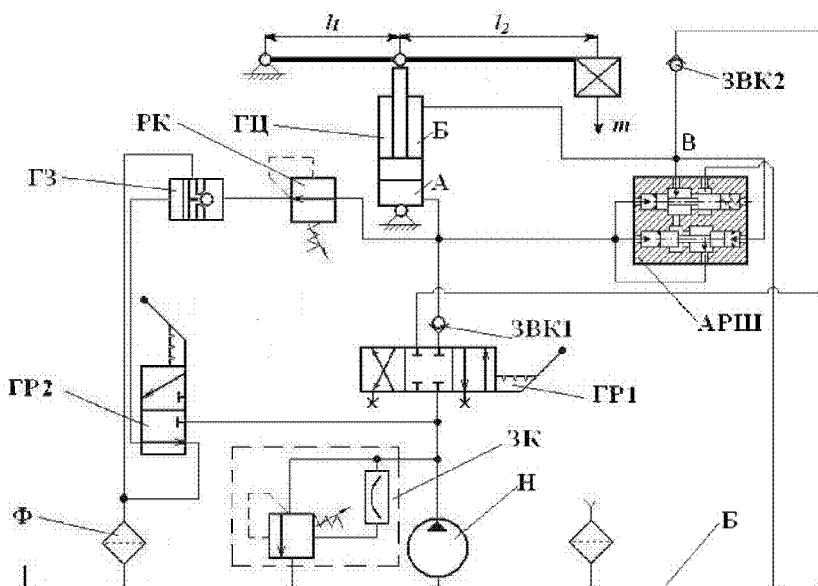


Рис. 1. Гідравлічна схема ГС підйомного механізму стрілочного крану з АРІІІ: Н – насос, ЗК – запобіжний клапан з осциляцією, ГЦ – гідроциліндр, ГР1, ГР2 – гідророзподільнік, ГЗ – гідрозамок, АРІІІ – автоматичний регулятор швидкості; РК – редукційний клапан, ЗВК1, ЗВК2 – зворотні клапани; Б – бак, Ф – фільтр.

Від насоса (Н) з постійною подачею $Q_n=\text{const}$ робоча рідина через трьохпозиційний гідророзподільник (ГР1) з ручним керуванням в середньому положенні надходить під тиском до запобіжного клапана (ЗК) з ГВК, через котрий зливається в бак (Б). При перемиканні ГР1 і зміщенні його золотника в праве положення, робоча рідина проходить через ГР1 і зворотній клапан (ЗВК1) та потрапляє до поршневої порожнини гідроциліндра (ГЦ) (порожнина А) під тиском p_1 . ГЦ має два виводи з поршневої та підпоршневої порожнин, до котрих підведено автоматичний регулятор швидкості (АРШ). Нижче розглянемо режими роботи АРШ в залежності від навантаження виконавчого механізму.

Перший режим роботи АРШ характеризується вагою вантажу, на виконавчому механізмі

$$G \leq P_{\delta_{\theta_0}} \eta_u, \quad (1)$$

де G - вага вантажу; $P_{\delta_{\theta_0}}$ - найбільше значення сили руху, що розвивається поршнем ГЦ; η_u - ККД ГЦ, що враховує сумарний ефект від дії сил тертя.

Пружина (рис. 2) фіксує золотник ЗЛ1 в золотниковому блоці АРШ в крайньому лівому положенні і настроюється на тиск $p_1 = p_{l_0}$ (p_{l_0} – тиск на котрий налаштована пружина АРШ) в порожнині А.

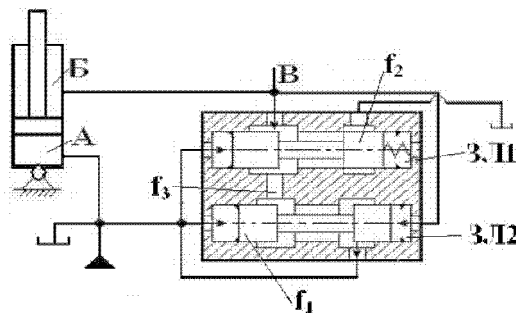


Рис. 2. Автоматичний регулятор швидкості: А – поршнева порожнинна; Б – підпоршнева порожнинна; ЗЛ1, ЗЛ2 – золотники АРШ; f_1, f_2, f_3 – площини каналів АРШ

Таким чином, при $P_{\delta_{\theta_0}} \leq P_{\delta_{\theta_0}}$ і відповідно $p_1 \leq p_{l_0}$, робоче вікно з площею f_2 закрито і злив з підпоршневої порожнини Б ГЦ до баку перекрито. Через те, що тиск p_2 в порожнині Б більше p_1 , то золотник ЗЛ2 знаходиться в крайньому лівому положенні і рідина з порожнини Б через канал площею f_3 між золотниками АРШ і робоче вікно з площею f_1 потрапляє до порожнини А. Робота ГЦ характеризується режимом диференційного включення.

Другий режим роботи АРШ характеризується навантаженням

$$P_{\partial\sigma} = P_{\partial\sigma_0} + \Delta P_{\partial\sigma}. \quad (2)$$

При цьому $p_1 > p_{1_0}$, золотник ЗЛ1 стискаючи пружину, пересувається праворуч і відкриває через вікно площею f_2 , відбувається злив з порожнини Б до баку. Тиск p_2 в порожнині Б зменшується, але залишається більшим ніж p_1 , внаслідок чого зменшується швидкість руху поршня:

В третьому режимі роботи АРШ навантаження

$$P_{\partial\sigma} > P_{\partial\sigma_0} + \Delta P_{\partial\sigma}. \quad (3)$$

В цьому випадку $p_2 < p_1$; золотник ЗЛ2 займає крайнє ліве положення і перекриває вікно площею f_1 . До порожнини А подається лише витрата від насосу. Зі збільшенням сили $P_{\partial\sigma}$ під дією тиску p_1 , що збільшується доти, доки тиск робочої рідини не досягне налаштованого тиску пружини. Золотник ЗЛ1 збільшує площу f_2 робочого вікна, у зв'язку з чим тиск p_2 продовжує зменшуватися.

Для опускання поршня ГЦ перемикаємо ГР1 в крайнє положення ліворуч. В цьому випадку припиняється надходження робочої рідини до напірної магістралі, робоча рідина подається до магістралі В керування АРШ. Це необхідно для того, щоб в підпоршневій порожнині ГЦ не сталося розриву робочої рідини при опусканні штока, що може привести до виникнення вагань ГЦ разом з навантаженням. З поршневої порожнини ГЦ1 і з АРШ робоча рідина зливається через редукційний клапан (РК), гідрозамок, який відкривається від керуючого сигналу гідророзподільника ГР2 і фільтр (відбувається опускання вантажу). Зауважимо, що величина на яку підймається чи опускається вантаж залежить від моменту часу, в який відбувається перемикання ГР1 та ГР2.

Математична модель ГС підйомного механізму стрілочного крану. При її розробці були прийняті наступні припущення: виконується рівняння нерозривності течії робочої рідини; кавітація відсутня; трубопроводи мають великий діаметр і незначну довжину, втрати тиску в них незначні, хвильовими процесами в них нехтуємо; температура і щільність робочої рідини – постійні і рівні їхнім середнім значенням за час роботи ГС. Також вважаємо, що робоча рідина містить 1,5 % нерозчиненого повітря, який за час роботи ГС не змінюється, що впливає на модуль об'ємної пружності робочої рідини, який з урахуванням газовмісту розраховується згідно залежності наведеної в [5].

Математична модель ГС представлена наступними рівняннями:

– рівняння руху золотника ЗК з осциляцією

$$m\ddot{x}_{\text{зре}} = P_{\text{ун}}(t) - P_{\text{пр}\Sigma}(t) - P_{\text{п пр}}(t) - P_{\text{гд}}(t) - P_{\text{тр}}(t) + P_{\text{осц}}(t) - P_{\text{дем}}(t), \quad (4)$$

– рівняння руху золотників АРШ

$$m_1\ddot{x}_1 = f_{11}p_6 + c_{np_1}x_1 - f_{12}p_a - P_{\text{тр}}(t) - P_{\text{гд}}(t), \quad (5)$$

$$m_2 \ddot{x}_2 = f_{21} p_6 - f_{22} p_a - P_{\text{tp2}}(t) - P_{\text{тд2}}(t), \quad (6)$$

– рівняння руху навантаженого штока гідроциліндра

$$m_{\text{эу}} \ddot{y} = f_{\text{nop}} p_1 - f_{\text{шан}} p_2 - P_{\text{mp0}} \delta(\dot{y}) - P_{\text{mpk}} \text{sign}(\dot{y}) - k_{\text{TPV}} \dot{y} - P_{\text{нк}}, \quad (7)$$

– рівняння нерозривності

$$Q_{\text{H}}(t) = Q_{\text{нав}}(t) + Q_{\text{зк}}(t) + Q_{\text{ct}}(t) + Q_{\text{ун}}(t), \quad (8)$$

– рівняння, що описують зміну стану робочої рідини

$$T_a = \text{const}, \quad \rho = \text{const}. \quad (9)$$

До рівнянь (4),(7) – (9) входять наступні величини і які визначаються за залежностями наведеними в статті [1]: m – маса золотника ЗК та приведена до осі ЗК маса всіх рухомих частин; $\ddot{x}_{\text{зк}}$ – прискорення золотника ЗК; $P_{\text{ун}}(t)$ – сила керування; $P_{\text{пр}\Sigma}(t)$ – сумарна сила пружин; $P_{\text{p пр}}(t)$ – сила рідинної пружини; $P_{\text{тд}}(t)$ – гідродинамічна сила; $P_{\text{tp}}(t)$ – сила тертя; $P_{\text{дем}}(t)$ – сила демпфірування; $m_{\text{эу}}$ – маса поршня ГЦ та приведена до осі ГЦ маса всіх рухомих частин; \ddot{y} , \dot{y} – прискорення та швидкість поршня ГЦ; f_{nop} , $f_{\text{шан}}$ – площини поршня ГЦ, відповідно, зі сторони поршневої та штокової порожнин; p_1 , p_2 – тиск у поршневій і штоковій порожнинах; P_{mp0} , P_{mpk} – сили тертя спокою та рідинного тертя; k_{TPV} – коефіцієнт кінематичного тертя; $P_{\text{нк}}$ – сила, що прикладена до штоку ГЦ; $Q_{\text{н}}(t)$ – витрати на виході з насоса; $Q_{\text{нав}}(t)$ – витрата навантаження; $Q_{\text{зк}}(t)$ – витрата через ЗК; $Q_{\text{ct}}(t)$ – витрата стиску; $Q_{\text{ун}}(t)$ – витрата керування.

До рівнянь (5) і (6) входять величини [5]: f_{11} , f_{22} - площини каналів АРШ; p_a , p_6 – тиск в порожнинах А і Б; x – хід золотника АРШ; c_{np} – жорсткість пружини, останні аналогично до вище згаданих. Індексами 1 і 2 відмічені величини, що описують рух двох золотників ЗЛ1 і ЗЛ2 АРШ (рис.2). Переміщення золотників ЗЛ1 і ЗЛ2 знаходиться в наступних межах

$$0 \leq x_1 \leq x_{1\max}, \quad (10)$$

$$0 \leq x_2 < x_{2\max}. \quad (11)$$

Обмеження швидкості руху золотників ЗЛ1 і ЗЛ2 визначається як

$$\frac{dx_1}{dt} = \begin{cases} 0, & \text{при } \frac{dx_1}{dt} > 0, \quad x_1 = x_{1\max} \\ 0, & \text{при } \frac{dx_1}{dt} < 0, \quad x_1 = 0 \\ \frac{dx_1}{dt}, & \text{при } 0 < x_1 < x_{1\max} \end{cases}, \quad (12)$$

$$\frac{dx_2}{dt} = \begin{cases} 0, & \text{при } \frac{dx_2}{dt} > 0, & x_2 = x_{2\max} \\ 0, & \text{при } \frac{dx_2}{dt} < 0, & x_2 = 0 \\ \frac{dx_2}{dt}, & \text{при } 0 < x_2 < x_{2\max} \end{cases} . \quad (13)$$

Витрати через канали АРШ f_1 і f_2 визначаємо

$$Q_{f_1}(t) = \mu_{f_1}(\text{Re}, x_1) f_1(t, x_1) \sqrt{\frac{2}{\rho}} \sqrt{p_1(t) - p_a(t)}, \quad (14)$$

$$Q_{f_2}(t) = \mu_{f_2}(\text{Re}, x_2) f_2(t, x_2) \sqrt{\frac{2}{\rho}} \sqrt{p_2(t) - p_{an}(t)} . \quad (15)$$

Витрата через внутрішній канал 3 АРШ визначаємо

$$Q_{f_3}(t) = G \sqrt{|p_1(t) - p_2(t)|} , \quad (16)$$

де G – проводність каналу 3.

Вважаючи, що діаметр каналів, по котрим робоча рідина підводиться та відводиться до АРШ дорівнює діаметру трубопроводів, що підводять, їхній опір не враховуємо.

Для першого режиму роботи АРШ швидкість руху поршня ГЦ визначається, як

$$v_1 = \frac{Q_u}{F(1-k)}, \quad (17)$$

де Q_u – витрата, що створює насос; $k = \frac{F_2}{F_1}$; F_1 , F_2 – ефективні площині поршня в порожнинах А і Б.

При цьому режимі злив через не відбувається, тому $Q_{f_2}(t) = 0$,

Другий режим роботи АРШ характеризується швидкістю руху поршня ГЦ

$$v_2 = \frac{Q_u + Q_1}{F_1} . \quad (18)$$

В цьому випадку тиск $p_2(t) = p_1(t)$, витрата $Q_{f_2}(t) = 0$, а швидкість $v_2 = \frac{Q_u}{F_1}$.

В третьому режимі швидкість поршня визначається, як

$$v_3 = \frac{Q_u}{F_1} . \quad (19)$$

Таблиця 1 – Параметри ГС підйомного механізму стрічочного крану в залежності від режиму навантаження.

№ режиму	$p_1(t), p_2(t)$	$Q_{f_1}(t)$	$Q_{f_2}(t)$	$Q_{f_3}(t)$
1	$p_2(t) \gg p_1(t)$	$Q_{f_1}(t) \neq 0$	$Q_{f_2}(t) = 0$	$Q_{f_3}(t) = Q_{f_2}(t)$
2	$p_2(t) > p_1(t)$	$Q_{f_1}(t) = 0$	$Q_{f_2}(t) \neq 0$	–
3	$p_2(t) < p_1(t)$	$Q_{f_1}(t) = 0$	$Q_{f_2}(t) \neq 0$	$Q_{f_3}(t) = 0$

Висновки. Розроблена більш повна математична модель елементів ГАЖ (переливний клапан прямої дії з осциляцією [4]) і моделі ГС підйомного механізму стрічочного крану вцілому з урахуванням їх нелінійностей та функціональних обмежень. Розроблена математична модель ГС дає можливість отримати графіки переходних процесів величин, аналіз яких дозволить оцінити динамічні характеристики, точність стабілізації швидкості ГА з використанням АРШ.

Список літератури: 1. Андренко П. Н., Клітной В. В., Панамарьова О. Б. Математична модель малогабаритного гідроагрегата живлення // Вісник Східноукраїнського національного університету ім. В. Даля. – Луганськ, СНУ ім. В. Даля, 2007. – №3(109) Ч. 2. – С. 13 – 17. 2. В. А. Дусанюк, Н. И. Иванов Автоматическое управление режимом работы гидропривода грузоподъемных устройств // Гидропривод и гидропневмоавтоматика. – К.: Техника, 1976. – №12. – С. 58 – 64. 3. Ремарчук М. П. Енергозбереження в системах управління робочим обладнанням підйомно-транспортних і дорожніх машин // Промислова гіdraulіка і пневматика. – Вінниця, 2004. – №2(4). – С. 7 – 12. 4. . Лур'є З. Я., Андренко П. Н. Обґрунтування правомірності дослідження характеристик гідроапаратів з гіdraulічним вібраційним контуром по їх лінеаризованням математичним моделям // Східно – Європейський журнал передових технологій. – Харків, 2006. – №6/3(24). – С. 15 – 19. 5. Чекмасова І. А. Динаміка гідроагрегата з дросельним керуванням на базі регулятора витрати. Дис. на здоб. наук. ст. к. т. н. за спец. 05. 05. 17 – «Гіdraulічні машини та гідропневмоагрегати» НТУ «ХПІ», Харків, 2003р. – С. – 258.

Поступила до редколегії 27.09.07

УДК 62-753: 629.73

M.C. СВИНАРЕНКО

МАТЕМАТИЧНА МОДЕЛЬ МОДЕРНІЗОВАНОГО ГІДРОБЛОКУ З ПАСИВНИМ ГАСИТЕЛЕМ ПУЛЬСАЦІЙ З АВТОМАТИЧНИМ РЕГУЛЮВАННЯМ ПАРАМЕТРІВ

У статті приведена розроблена нелінійна математична модель модернізованого гідроблоку з пасивним гасителем пульсацій з автоматичним регулюванням параметрів, яка враховує такі фактори, як: гідродинамічні процеси, що відбуваються в гідросистемі; силу тертя в гіdraulічних апаратах; параметри робочої рідини.

Вступ. Питанням зниження шуму та екологічної безпеки, останнім часом, в більшості країн Європи, приділяють значну увагу. Так, в цих країнах,